

ソリトンの安定性

早大理工 斎藤信彦, 大山尚武 相沢洋二

§1. 格子ソリトンの減速について

ハミルトン = アンカ

$$H = \frac{1}{2m} \sum_{i=1}^N p_i^2 + \sum \left\{ \frac{a}{b} \cdot e^{-b(x_i - x_{i+1} - D)} + a(x_i - x_{i+1} - D) \right\} \quad (1)$$

である一次元非線形格子系を考へる。

正準変換によつて $(p, q) \rightarrow (s, r)$, r, s で運動方程式を書くと,

$$\dot{s}_m = a(e^{-br_m} - 1) \quad (2)$$

$$\dot{r}_m = \frac{1}{m}(2s_m - s_{m-1} - s_{m+1})$$

となる。

$$\begin{aligned} s_m - s_{m+1} &= m \dot{x}_m = p_m \\ x_m - x_{m+1} &= r_m \end{aligned} \quad (3)$$

である。この格子系には、特殊解(ソリトン)が存在する。

(M. Toda, 1967)

$$r_m = -\frac{1}{b} \ln \{ 1 + \sinh^2 \alpha \operatorname{sech}^2 (\alpha m - \beta t) \}$$

$$S_m = -\frac{1}{b} \beta \cdot m \operatorname{tanh} (\alpha m - \beta t) \quad (4)$$

$$\text{但し } \beta = \sqrt{\frac{ab}{m}} \cdot \sinh \alpha$$

これらのソリトン同士の衝突によつては、各ソリトンは崩れず安定な運動を続けることが知られている。

ここでは、ソリトンと (4) の形で表わせない、非ソリトンの解との相互作用によるソリトンの安定性を計算機シミュレーションから調らる。 (4) の形の解を $t=0$ で、

$$r_m(0) (\neq 0), \quad S_m(0) (\neq 0) \quad \text{とし、それらに、ゆがみ振動、}$$

$$\Delta r_m(0) (\neq 0), \quad \Delta S_m(0) (=0) \quad \text{を加える。この初期状態から、}$$

運動方程式 (2) を数値的に解いて、ソリトンの速度変化を調らる。これによつて、いくつかの計算機結果から、

ソリトンはゆがみ増速することが見られた。ゆがみ振動、

$$\Delta r_m(0) (\neq 0), \quad \Delta S_m(0) (=0) \quad \text{はそのゆがみでソリトンの方向を}$$

逆にして、運動方程式を解いても、同様にソリトンの減速が見られた。これらの事から、ソリトンの減速は、かなり一般

的であろうと考えられる。

第2. Surface of Section の方法による格子ソリトンの大域的安定性

先に摂動によるソリトンの減速が見られることを指摘したが、しかし完全にソリトンが消滅するという結果は得られていない。この系の大域的性質を調べるために、自由度2の格子モデルについて、系の大域的安定性を、Surface of Section の方法で調べる。

運動方程式

$$\begin{aligned} m\ddot{x}_1 &= a \left\{ e^{-b(x_1-D)} - e^{-b(x_2-x_1-D)} \right\} \\ m\ddot{x}_2 &= a \left\{ e^{-b(x_2-x_1-D)} - e^{-b(x_3-x_2-D)} \right\} \end{aligned} \quad (5)$$

を考慮する。 $m=D=a=b=1$ とし、さらにこの系が、ソリトン解(3)をもち、 $\alpha=1$ と $\alpha=4$ の場合を考慮する。このとき $t=0$ でソリトンの形は決って、したがって $x_1(0)$, $x_2(0)$, $x_3(0)$ も決まる。この x_3 を fix して、方程式(5)を解く。 $\alpha=1$, $\alpha=4$ とした結果、系のエネルギーは、

$$\begin{aligned} E &= \frac{1}{2}(\dot{x}_1^2 + \dot{x}_2^2) + e^{-(x_1-1)} + e^{-(x_2-x_1-1)} \\ &\quad + e^{-(x_3-x_2-1)} + (x_3-3) \end{aligned} \quad (6)$$

として、 $E \doteq 456$ ($\alpha=1$)、 $E = 1485.4$ ($\alpha=4$) とする。

このエネルギーを fix して、いくつかの初期条件から運動を追跡する。その運動の path が $(x, \dot{x}, x_2, \dot{x}_2)$ の空間内の $x_2 = \frac{2}{3} x_3(0)$ となる面 (Surface of Section) を通過する ($\dot{x}_2 \geq 0$) 瞬間の (x, \dot{x}) の二次元写像 (ポアンカレ写像) を考える。もし周期解を逢えば、ポアンカレ写像は、不動点となる。さらに、運動がエルゴード的ならば (x, \dot{x}) のエネルギー的に許される全領域に、ポアンカレ写像が広がってしゆく。又逆に、エネルギー以外の保存量があれば、ポアンカレ写像は、規則的な曲線となる。(不変曲線と呼ぶ。)

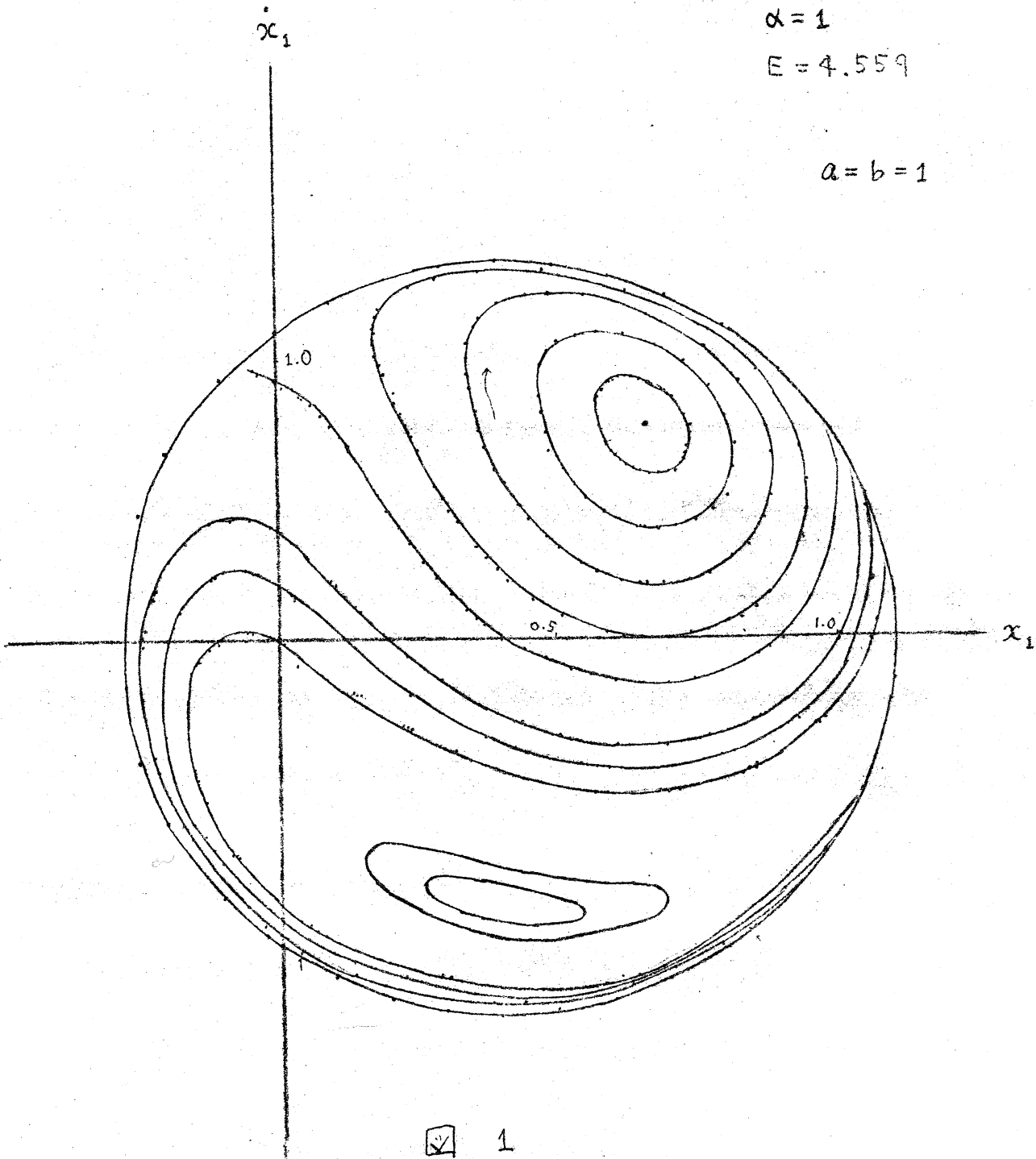
図 1, 図 2 はそれぞれ $\alpha = 1, \alpha = 4$ に対するポアンカレ写像から得られた不変曲線群である。渦心点があり、それぞれも不動点である。又、 $\dot{x}_1 > 0, x_1 > 0$ の領域にある不動点がソリトン解に対応する。他の不動点は、定在波としての周期解である。二つのポアンカレ写像の結果は非常に異っているが、トポロジカルな構造は変わっていない。

2 自由度系の格子系は、これまでのとおり、大域的に安定であり、エネルギー以外の保存量が存在することが分る。さらに、ソリトンも又安定である。しかし、もっと大きなエネルギーのときは、振幅不安定性の生じる可能性もある。これらの事は今後、調らる必要がある。

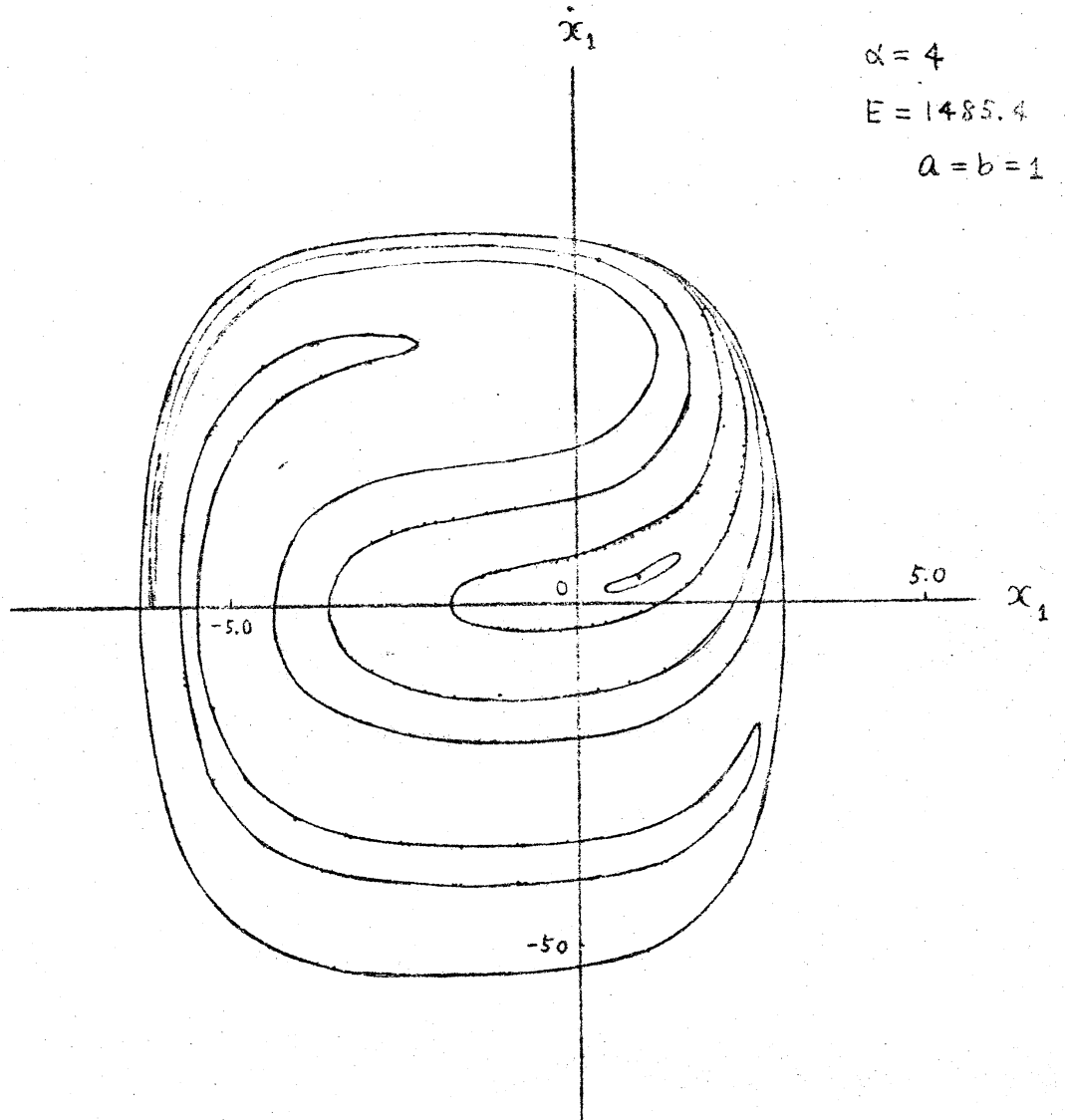
$$\alpha = 1$$

$$E = 4.559$$

$$a = b = 1$$



☑ 1



2